



**UNIVERSIDADE FEDERAL DO RIO DE JANEIRO**  
**ESCOLA DE QUÍMICA**



## **EQE776 Modelagem e Simulação de Processos**

### **Aula 04. Modelagem e simulação de reator PFR não isotérmico**

Professor: Roymel Rodríguez Carpio

E-mail: roymel@eq.ufrj.br

# Recapitulando

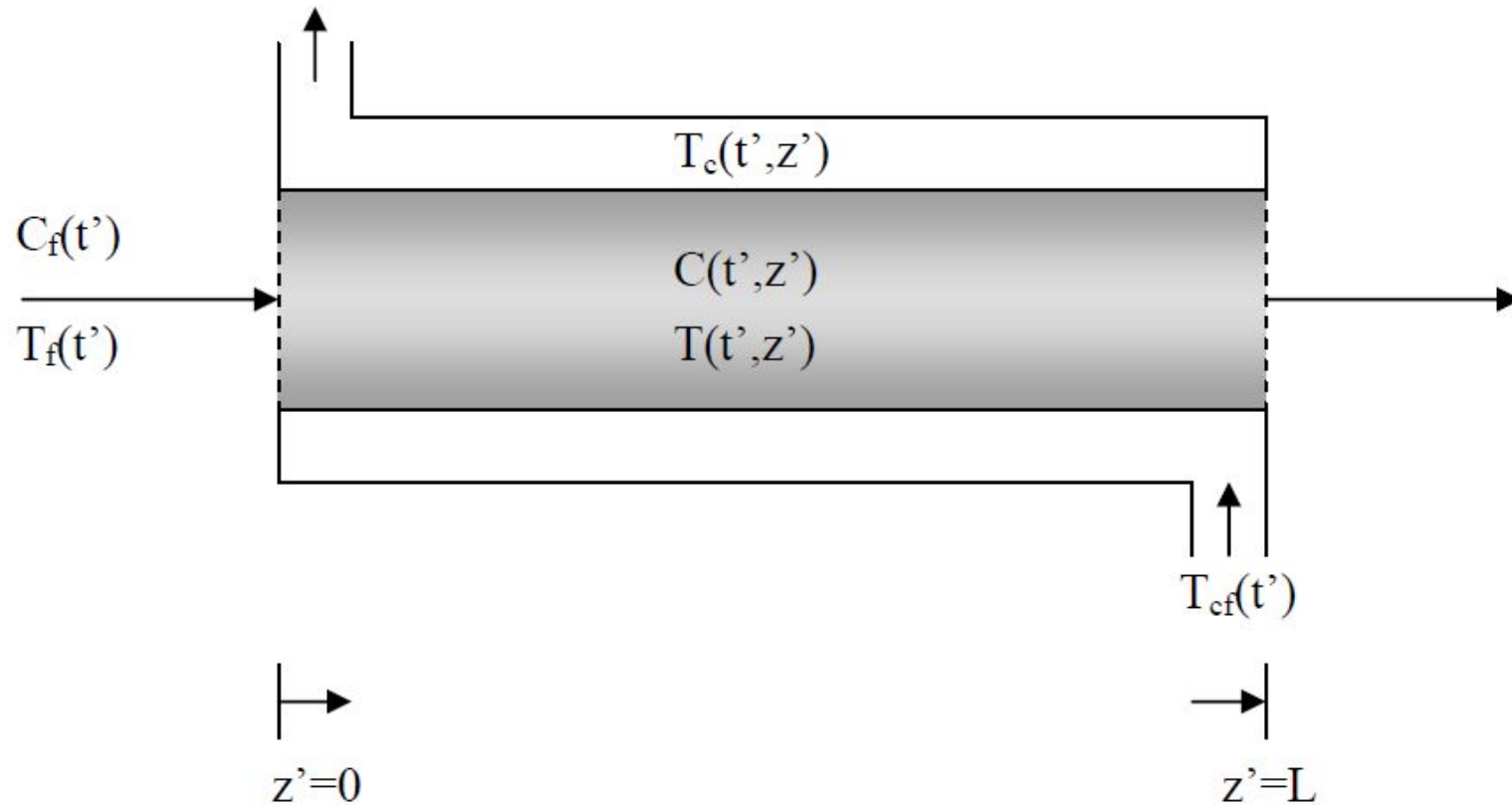
- Modelagem e simulação de reator CSTR não isotérmico

# Temas da aula

- Modelagem e simulação de reator PFR não isotérmico

# Apresentação do problema

Consideremos um PFR, onde acontece a reação exotérmica de decomposição do componente A:  $A \rightarrow B + C$ .



# Apresentação do problema

## Hipóteses simplificadoras:

- A área ( $A$ ) da seção transversal do reator tubular é constante.
- A mistura reacional escoia com uma velocidade ( $v_z$ ) constante
- Dentro do reator existe escoamento convectivo e difusivo, mas as corrente de alimentação e saída apresentam somente escoamento convectivo.
- A taxa de reação para um comprimento  $z$  é uma função da concentração do reagente  $A$  e da temperatura nesse ponto:  $r(C_A, T)$ .
- A capacidade calorífica da mistura reacional não varia significativamente.

# Apresentação do problema

## Hipóteses simplificadoras:

- A condutividade térmica da parede é extremamente elevada.
- A capacidade calorífica da parede é desprezível.
- A resposta da camisa de resfriamento é virtualmente instantânea
- A reação é de primeira ordem e irreversível.
- A constante de velocidade segue a equação:  $k(T) = k_o e^{-E/RT}$ .

# Modelagem

Balanço de massa para o reagente A:

$$\frac{\partial C_A(t, z)}{\partial t} + v_z \frac{\partial C_A(t, z)}{\partial z} = D_m \frac{\partial^2 C_A(t, z)}{\partial z^2} + r(t, z)$$

Este é o modelo de dispersão axial clássico unidimensional utilizado para descrever o escoamento com reação química em reatores tubulares. Observe que foi considerada a presença de escoamento difusivo, além do escoamento puramente convectivo do reator ideal de fluxo empistonado tradicional.

# Modelagem

Balanço de energia do conteúdo do reator:

$$\rho C_p \frac{\partial T(t, z)}{\partial t} + \rho C_p v_z \frac{\partial T(t, z)}{\partial z} = D_h \frac{\partial^2 T(t, z)}{\partial z^2} + (-\Delta H)r(t, z) - hA[T(t, z) - T_c(t, z)]$$

Perceba que o balanço de energia é análogo ao balanço de massa, adicionando-se o termo referente ao calor retirado pela camisa de refrigeração.



# Modelagem

Balanço de energia da camisa de resfriamento:

$$\rho_c C p_c \frac{\partial T_c(t, z)}{\partial t} - \rho_c C p_c v_{zc} \frac{\partial T_c(t, z)}{\partial z} = hA [T(t, z) - T_c(t, z)] \frac{A_{tubo}}{A_{casco}}$$

- O sinal negativo no termo convectivo deve-se ao fato do escoamento na camisa se dar no sentido negativo de  $z$ .
- Considerou-se escoamento puramente empistonado para esta seção.
- A multiplicação pelo fator  $\frac{A_{tubo}}{A_{casco}}$  transforma  $hA$  de maneira a expressá-lo por unidade de área do casco.

# Modelagem

Condições iniciais:

$$C_A(t = 0, z) = C_{A0}(z)$$

$$T(t = 0, z) = T_0(z)$$

$$T_c(t = 0, z) = T_{c0}(z)$$

Ou seja, os perfis das variáveis de estado no tempo inicial são conhecidos.

# Modelagem

Condições de contorno de Danckwerts:

$$\begin{aligned}C_A(t, z = 0) - \frac{D_m}{v_z} \frac{\partial C_A(t, z)}{\partial z} \Big|_{z=0} &= C_f(t) \\ \rho C_p T(t, z = 0) - \frac{D_h}{v_z} \frac{\partial T(t, z)}{\partial z} \Big|_{z=0} &= \rho C_p T_f(t) \\ \frac{\partial C_A(t, z)}{\partial z} \Big|_{z=L} &= 0 \\ \frac{\partial T(t, z)}{\partial z} \Big|_{z=L} &= 0 \\ T_c(t, z = L) &= T_{cf}(t)\end{aligned}$$

# Adimensionamento do modelo

Vamos definir as seguintes variáveis adimensionais:

$$z' = \frac{z}{L}; t' = \frac{t}{\left(\frac{L}{v_z}\right)};$$

$$u(t', z') = \frac{C_A(t', z')}{C^*}; u_f = \frac{C_f(t')}{C^*};$$

$$v(t', z') = \frac{T(t', z')}{T^*}; v_f(t') = \frac{T_f(t')}{T^*};$$

$$v_c(t', z') = \frac{T_c(t', z')}{T^*}; v_{cf}(t') = \frac{T_{cf}(t')}{T^*}$$

Onde  $C^*$  e  $T^*$  são a concentração e temperatura de referência, respectivamente.

# Adimensionamento do modelo

Podemos também escrever os seguintes grupamentos adimensionais:

$$\begin{aligned} D_a &= \frac{L}{v_z} \frac{r^*}{C^*}; P_{em} = \frac{v_z L}{D_m}; P_{eh} = \frac{v_z L \rho C_p}{D_h}; \\ B &= \frac{hAL}{v_z \rho C_p}; B_c = \frac{hAL}{v_z \rho_c C_{p_c}} \frac{A_{tubo}}{A_{casco}} \\ \lambda &= \frac{v_z}{v_{zc}}; R(t', z') = \frac{r(t, z)}{r^*} \end{aligned}$$

Onde  $r^*$  é a taxa de reação de referencia avaliada para  $C^*$  e  $T^*$ .

# Adimensionamento do modelo

Finalmente o modelo adimensionado fica:

Balanço de massa do reagente:

$$\frac{\partial u(t', z')}{\partial t'} + \frac{\partial u(t', z')}{\partial z'} = \frac{1}{P_{em}} \frac{\partial^2 u(t', z')}{\partial z'^2} - \text{DaR}(t', z')$$

Balanço de energia do reator:

$$\frac{\partial v(t', z')}{\partial t'} + \frac{\partial v(t', z')}{\partial z'} = \frac{1}{P_{eh}} \frac{\partial^2 v(t', z')}{\partial z'^2} + \text{BDaR}(t', z') - \beta[v(t', z') - v_c(t', z')]$$

Balanço de energia da camisa de resfriamento:

$$\lambda \frac{\partial v_c(t', z')}{\partial t'} - \frac{\partial v_c(t', z')}{\partial z'} = \beta_c [v(t', z') - v_c(t', z')]$$

# Simulação

Considere um reator tubular isotérmico cujo balanço de massa para o reagente é dado pela equação diferencial parcial:

$$\frac{\partial C(t, z)}{\partial t} + \frac{\partial C(t, z)}{\partial z} = \frac{1}{P_e} \frac{\partial^2 C(t, z)}{\partial z^2} - \text{Da}C(t, z)$$

Com as condições de contorno:

$$\begin{aligned} C(t, 0) - \frac{1}{P_e} \frac{\partial C(t, z)}{\partial z} \Big|_{z=0} &= C_{alim} \\ \frac{\partial C(t, z)}{\partial z} \Big|_{z=1} &= 0 \end{aligned}$$

No instante inicial não há reagente dentro do reator.

# Simulação

São conhecidas ademais as seguintes informações:

$$C_{alim} = 1$$

$$P_e = 15$$

$$Da = 1$$

Determine os perfis temporais da concentração do reagente para diferentes comprimentos do reator.

Dica: discretize da dimensão  $z$  aplicando a técnica de diferenças finitas para transformar a equação diferencial parcial (EDP) num sistema de equações diferenciais ordinárias (EDO).



# Simulação

Discretizando a dimensão  $z$ :

$$\begin{aligned}\Delta L &= \frac{L}{Np} = \frac{1}{50} \\ \left. \frac{\partial C(t, z)}{\partial z} \right|_{z=z_i} &\approx \frac{C_{i+1}(t) - C_{i-1}(t)}{2\Delta L} \\ \left. \frac{\partial^2 C(t, z)}{\partial z^2} \right|_{z=z_i} &\approx \frac{C_{i+1}(t) - 2C_i(t) + C_{i-1}(t)}{\Delta L^2} \\ C(t, 0) - \frac{1}{P_e} \left. \frac{\partial C(t, z)}{\partial z} \right|_{z=0} &= C_{alim} \rightarrow C_0 - \frac{1}{P_e} \frac{C_1 - C_0}{2\Delta L} = C_{alim} \\ \left. \frac{\partial C(t, z)}{\partial z} \right|_{z=1} &= 0 \rightarrow C_{51} = C_{50}\end{aligned}$$

# Simulação

Sistema de Equações Diferenciais Ordinárias (EDOs):

Para  $i=1$  até  $i=50$

$$\frac{dC_i}{dt} + \left( \frac{C_{i+1} - C_{i-1}}{2\Delta L} \right) = \frac{1}{P_e} \left( \frac{C_{i+1} - 2C_i + C_{i-1}}{\Delta L^2} \right) - DaC_i$$

Condições de contorno:

$$C_0 - \frac{1}{P_e} \frac{C_1 - C_0}{2\Delta L} = C_{alim}$$

$$C_{51} = C_{50}$$

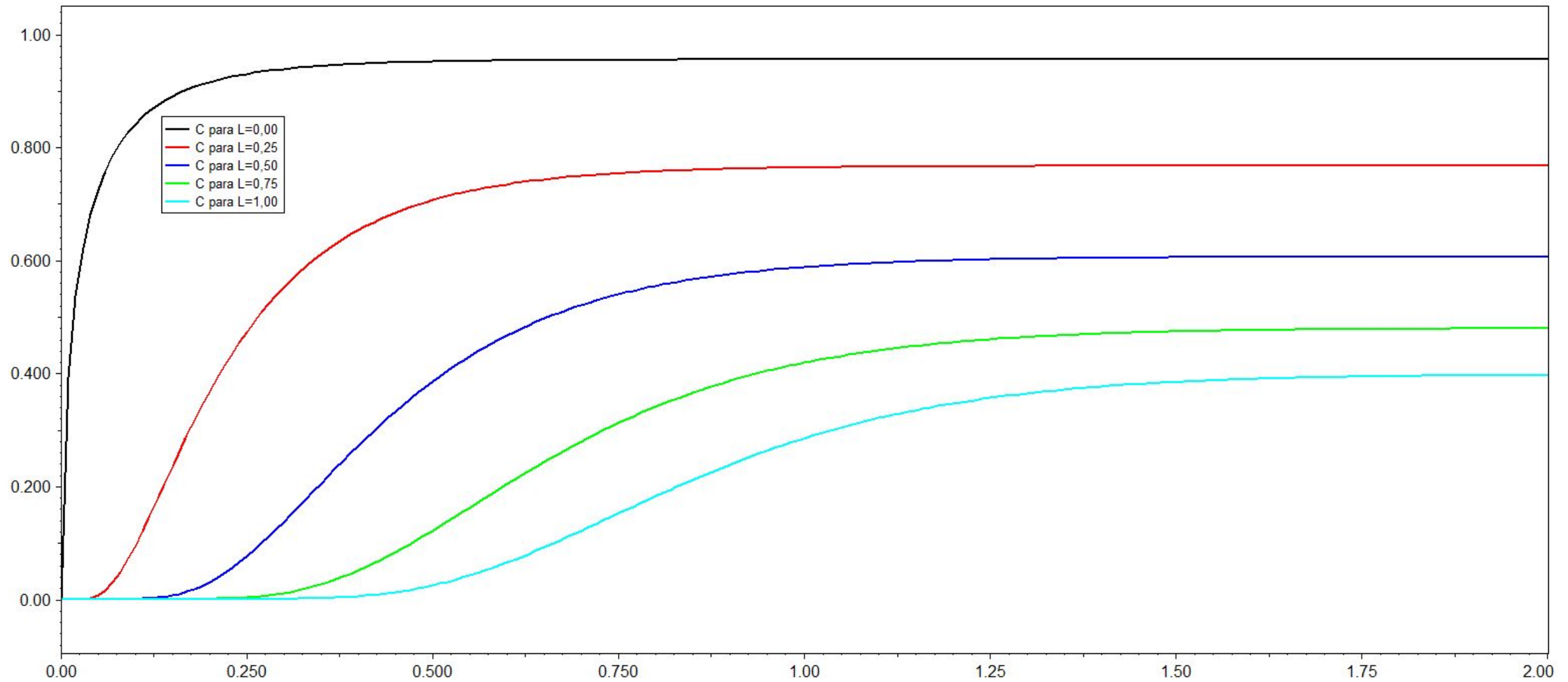
# Simulação

Ver solução em EMSO!

```
1 using "types";
2
3 Model PFR_model
4
5     PARAMETERS
6     L as positive;
7     Calim as positive;
8     Pe as positive;
9     Da as positive;
10    Np as Integer;
11
12    VARIABLES
13    DL as positive;
14    C(Np+2) as positive;
15    C_in as positive; #Concentracao na entrada
16    C_um_quarto as positive; #Concentracao para L=0,25
17    C_medio as positive; #Concentracao para L=0,5
18    C_tres_quartos as positive; #Concentracao para L=0,25
19    C_out as positive; #Concentracao na saida
20
21    EQUATIONS
22
23    DL = L/Np; #Passo de discretizacao
24
25    #Sistema de equacoes
26    for i in [2:Np+1] do
27        diff(C(i))'s' + (C(i+1)-C(i-1))/(2*DL) = (1/Pe) * (C(i+1)-2*C(i)+C(i-1))/(DL^2) - Da*C(i);
28    end
29
30    #Condicoes de contorno
31    C(1) - (1/Pe) * (C(2)-C(1))/(2*DL) = Calim;
32    C(Np+2) = C(Np+1);
33
34    #Pontos de amostragem
35    C_in = C(2);
36    C_um_quarto = C(16);
37    C_medio = C(31);
38    C_tres_quartos = C(46);
39    C_out = C(61);
40
41 end
```

```
43 FlowSheet PFR_sim
44
45     DEVICES
46     PFR as PFR_model;
47
48     SET
49     PFR.L = 1;
50     PFR.Calim = 1;
51     PFR.Pe = 15;
52     PFR.Da = 1;
53     PFR.Np = 60;
54
55     INITIAL
56     PFR.C = 0;
57
58
59     OPTIONS
60     Dynamic = true;
61     TimeUnit = 's';
62     TimeStart = 0;
63     TimeStep = 0.01;
64     TimeEnd = 2;
65
66 end
```

# Simulação



# Dúvidas?



# Recados importantes

- Próxima aula: Dimensionamento de coluna desbutanizadora em Aspen Hysys
- Os slides desta aula estarão disponíveis no Classroom da disciplina.

“Ensinar não é transferir conhecimento, mas criar as possibilidades para a sua própria produção ou a sua construção.”

Paulo Freire